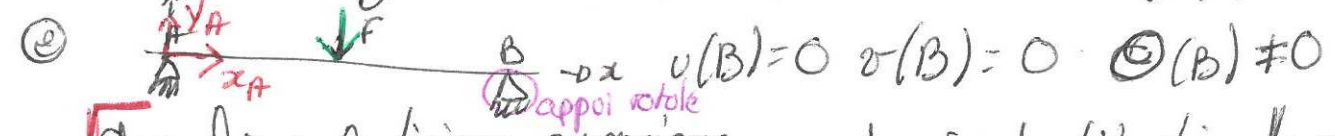


Structurées : - notion de liaison  
 - Degré d'hyperstativité

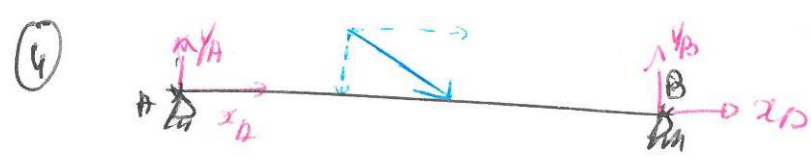
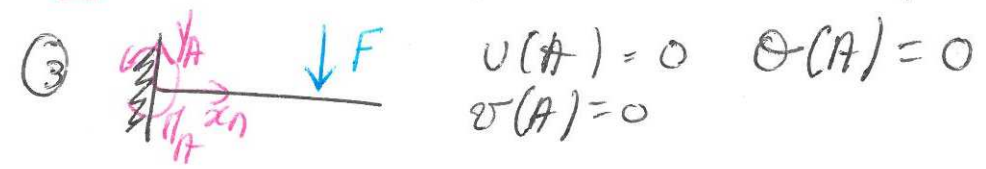


$\Theta(x)$  - rotation / z als  $u(A)=0, v(A) \neq 0, \Theta(A) \neq 0$



Chaque fois q la liaison supprime un degré de liberté elle crée une charge sur la structure.

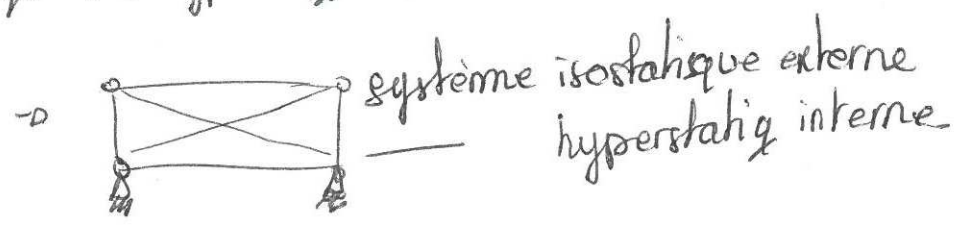
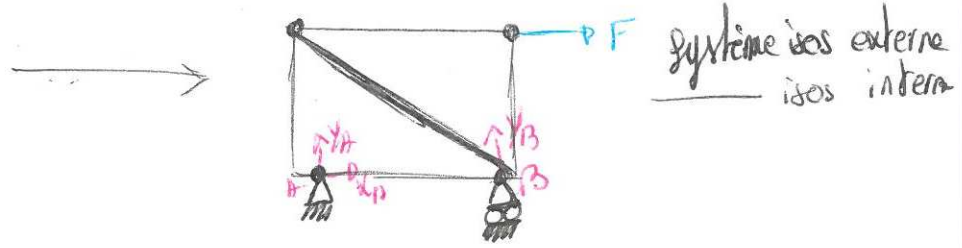
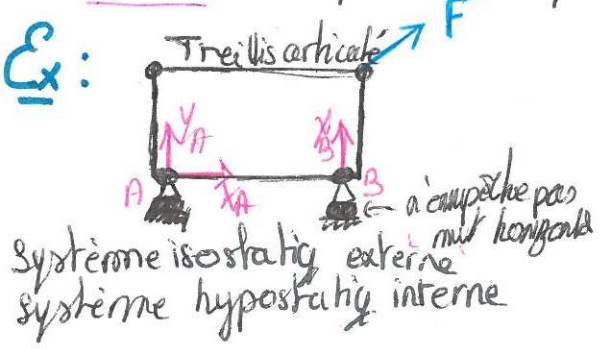
- > Pour arreter une translation -> (force) Charge ponctuelle
- > Pour arreter une rotation -> couple



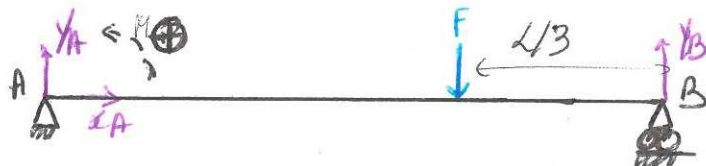
- Calcul des react° d'appuis / act° de liaisons

• 4 act° de liaisons inconnus,

- PFS : 3 équations d'équilibre -> 4 inconnues, 3 équations -> hyperstatig



# Exercice 1 :



Poids propre négligé.

① Système isostatique car 3 act° de liaisons pr 3 équatio d'équilibre ① Nature du système

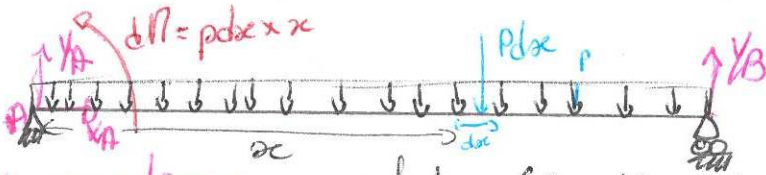
② Action de liaisons

• PFS :  $\sum X = 0 \rightarrow X_A = 0$

$\sum Y = 0 \rightarrow Y_A + Y_B - F = 0 \rightarrow Y_A = F - Y_B$

$\sum M_A = 0 \rightarrow Y_B \times L - \frac{L}{3} \times F = 0$   
 $\Rightarrow Y_B = \frac{L}{3} F, Y_A = \frac{2}{3} \times F.$

# Exo 2 :



Charge répartie (N/m)  
 = façon de représenter le poids propre

① Nature du système isostatique (3 act° de liaisons, 3 eq d'équilibre)

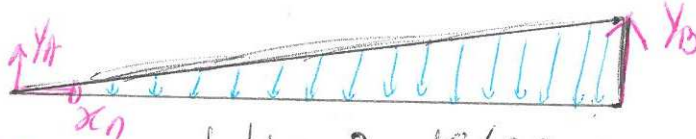
② Act° de liaisons  $\sum X = X_A = 0$

$\sum Y = 0 \rightarrow Y_A + Y_B - \int_0^L p dx = 0 \rightarrow Y_A = pL - Y_B$

Moment produit par p :  $M = \int_0^L p x dx$

$\sum M_A = 0 \rightarrow Y_B L - \int_0^L p x dx = 0 \Rightarrow Y_B = p \frac{L}{2} \rightarrow Y_A = \frac{pL}{2}$

# Exo 3 :



$p(x) = ax$

① Nature du système isostatique 3 act°/3 équ

② Act° de liaisons bc  $X_A = 0$

$Y_A + Y_B - \int_0^L ax dx = 0 \rightarrow Y_A = \left[ \frac{ax^2}{2} \right]_0^L - Y_B = \frac{aL^2}{2} - Y_B$

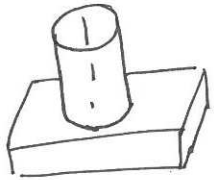
Moment produit par p(x):  $M = \int_0^L ax^2 dx = \left[ \frac{ax^3}{3} \right]_0^L = \frac{aL^3}{3}$

$\sum M_A = 0 \rightarrow Y_B L - \int_0^L ax^2 dx = 0 \rightarrow Y_B = \frac{aL^2}{3} \rightarrow Y_A = \frac{aL^2}{6}$

# Exo 4 :



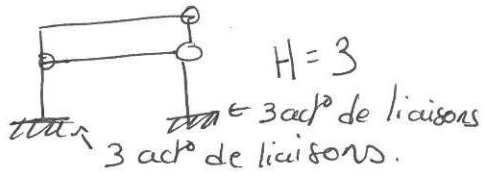
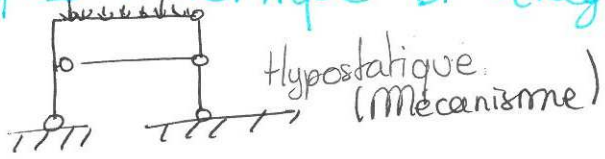
Suite exercice surprise (TD 9):



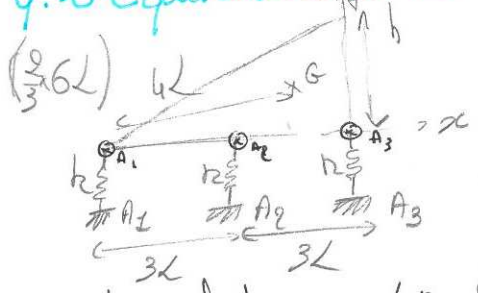
$$[K] = \begin{bmatrix} 0 & 0 & 0 \\ 0 & 0 & 0 \\ 0 & 0 & \sqrt{3}(k) \end{bmatrix}$$

Par Beltrami ça se simplifie.

4.1 F. Portique bi-étagé



4.2 Equilibre d'une structure hyperstatique



① Equat° d'équilibre: 2 eq d'équilibres car pas d'act° horizontales.  
3 act° verticales  $R_1, R_2, R_3$ .  
⇒ Hyperstatique  $H=1$ .

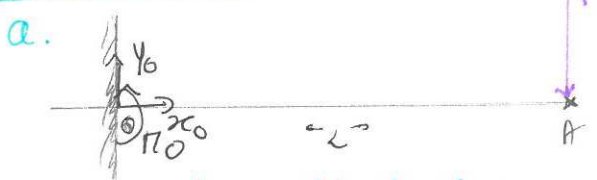
Equilibre statique / y  $R_1 + R_2 + R_3 - P = 0$

$\sum M^{nt}/A_1 : 3LR_2 + 6LR_3 - 4LP = 0$

Equat° supplémentaire: Plaque indéformable. → Exploitat° des déplacem<sup>t</sup>  $v_1, v_2, v_3$  (appuis)  
 $R_1 = kv_1$  ( $v_1 =$  affaitem<sup>t</sup> du ressort). ( $F = k \cdot \Delta L$ )  $R_2 = kv_2, R_3 = kv_3$ .

On cherche à trouver une autre équation ⇒  $v_1 = \frac{R_1}{k}, v_2 = \frac{R_2}{k}, v_3 = \frac{R_3}{k}$   
Equat° donné par l'équation de la droite du triangle car plaque indéformable. reste droit.

Exercice sollicitations internes:



① Nature du système  
3 act° de liaisons (encastrem<sup>t</sup>)  $x_0, y_0, M_0$   
⇒ isostatique.

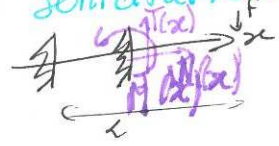
② Calcul des act° de liaisons

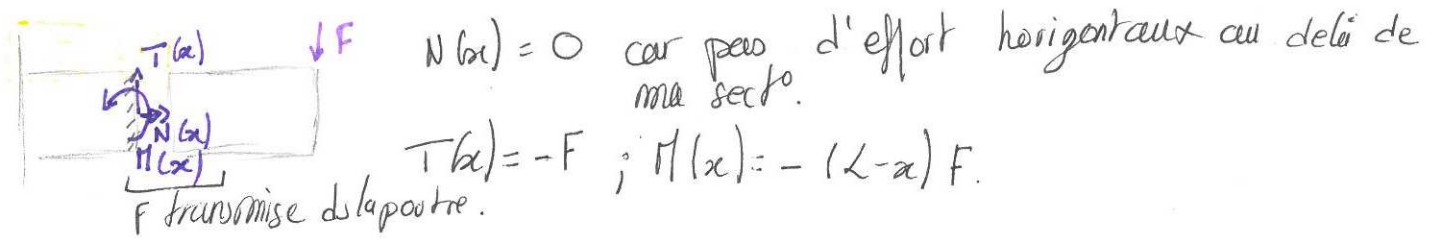
PFS: /x  $x_0 = 0$  /y  $y_0 - F = 0 \Rightarrow y_0 = F$

$\sum M^nt/O \Rightarrow M_0 - FL = 0 \Rightarrow M_0 = FL$

③ Sollicitations internes

On découpe le poutre  
 $N(x) =$  effort normal  
 $T(x) =$  effort tranchant  
 $M(x) =$  moment fléchissant





$dF = \sigma_x(y) \times dy \times e$  Integral<sup>o</sup> des contraintes normales.  
 $dM = y \cdot dF$  de contraintes à l'encastrement.

b. ① Structure Isostatique 3eq liaisons 3eq équilibre  
 ② Ad<sup>o</sup> de liaisons

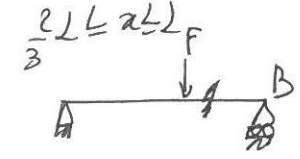
PFS /  $x$  :  $X_A = 0$  /  $Y_A + Y_B - F = 0$

$\sum M^{nt}/B = -\frac{FL}{3} + LY_A = 0 \Rightarrow Y_A = \frac{1}{3}F$

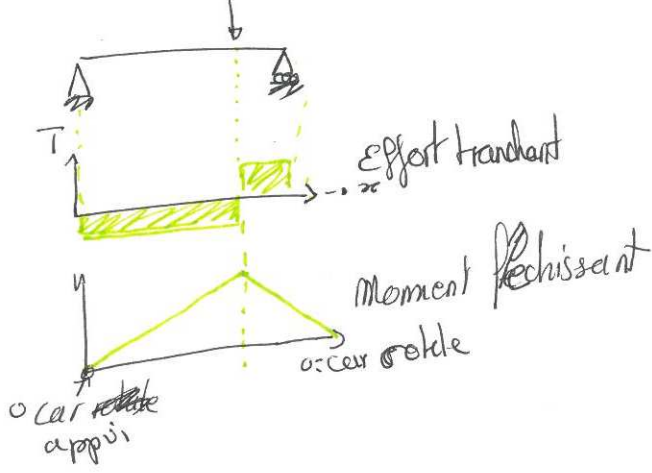
$\sum M^{nt}/A = -\frac{2}{3}FL + Y_B L = 0 \Rightarrow Y_B = \frac{2}{3}F$

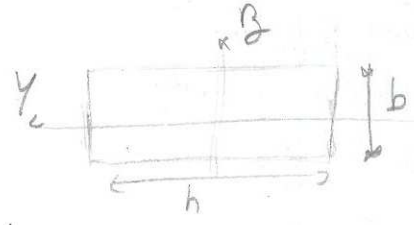
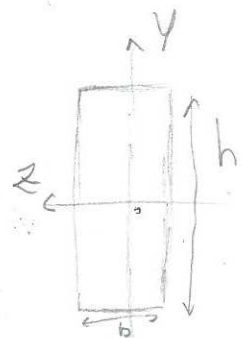
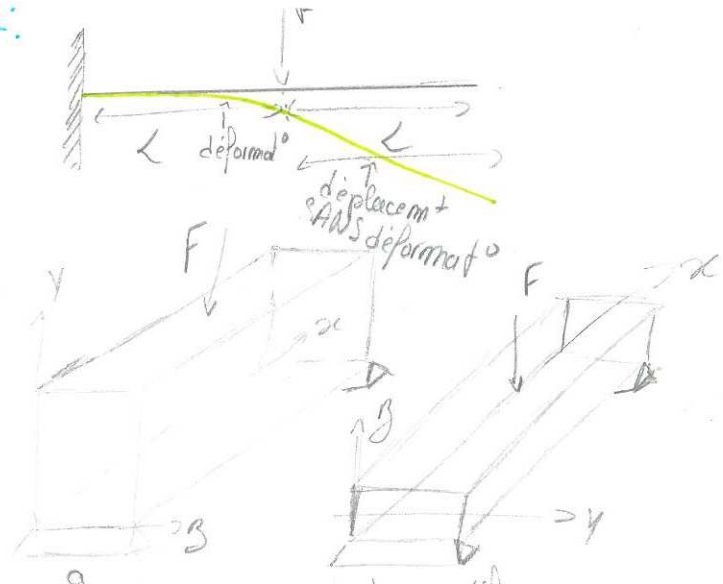
③ Sollicitations internes Charges ponctuelle  $\rightarrow$  On décompose le calcul des sollicitat<sup>o</sup>

$0 \leq x \leq \frac{2}{3}L$ .  $N(x) = 0$   
 $T(x) = Y_B - F = -\frac{1}{3}F$   
 $M(x) = -F(\frac{2}{3}L - x) + Y_B(L - x) = -\frac{2}{3}FL + Fx + \frac{2}{3}FL - \frac{2}{3}Fx$



$\rightarrow N(x) = 0$   $T(x) = Y_B = \frac{2}{3}F$   
 $M(x) = Y_B(L - x) = \frac{2}{3}F(L - x) = M(x)$





↳  $I_{yz}$  sollicite  $I_{yz}$   
 $I_{yz} = \iint_{(s)} yz \, ds$

↳ b se déforme  $\ominus$  que a.  
 ↳  $I_{yz}$  sollicite  $I_{yz} = \iint_{(s)} yz \, ds$

$I_{yz} = \iint_{(s)} y^2 \, ds$

$I_{zy} = \iint_{(s)} z^2 \, ds$

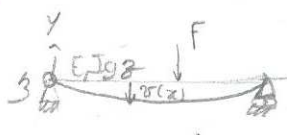
$$I_{yz} = \iint_{(s)} y^2 \, ds = b \int_{-h/2}^{h/2} y^2 \, dy = \frac{bh^3}{12}$$

$$I_{zy} = \frac{hb^3}{12}$$

$b < h \Rightarrow I_{yz} \gg I_{zy} \Rightarrow a$  se déforme  $\oplus$  q  $b$ .

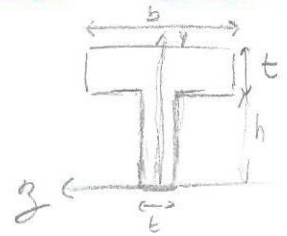
Rigidité d'une structure dépend du module d'Young (E) et par  $I_y$

**Relation Moment - Courbure:**  
 $M_{yz}(x) = \underbrace{E \cdot I_{yz}}_{\text{Rigidité}} \cdot \underbrace{\chi(x)}_{\text{courbure}}$



$v(x)$  = déplacement vertical de la poutre (flèche ou encore déformée)  
 $v'(x)$  = rotation de la sect<sup>o</sup> d'abscisse  $x = \theta(x)$   
 $v''(x) = \theta'(x)$  = courbure en  $x = \chi(x)$

Exercice : Caractéristiques géométriques des sections



① Calcul du moment statique  $S_z$  de la sect<sup>o</sup>

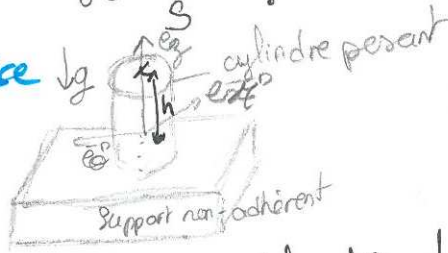
$$\begin{aligned} S_z &= \iint_{(s)} y \, ds = \iint_{S_1} y \, ds + \iint_{S_2} y \, ds \\ &= b \int_h^{h+t} y \, dy + t \int_0^h y \, dy \\ &= b \left[ \frac{y^2}{2} \right]_h^{h+t} + t \left[ \frac{y^2}{2} \right]_0^h \\ &= b \frac{(h+t)^2 - h^2}{2} + \frac{th^2}{2} \\ &= b(h^2 + 2ht + t^2) + th^2 \\ &= bht + \frac{th^2}{2} + \frac{bt^2}{2} = S_z \end{aligned}$$

A confirmer

# ② Coordonnée $y_G$ du Centre de gravité (CDG) en utilisant $S_z$

→ Aire Section:  $S = bt + th \rightarrow y_G = \frac{S_2}{S} = ?$

## Suite Exercice Surprise



$$[\nabla] = \begin{bmatrix} 0 & 0 & 0 \\ 0 & 0 & 0 \\ 0 & 0 & \frac{1}{z} \end{bmatrix}$$

force volumique  $\rho g$   
 Choisir l'équation de Beltrami

pour laquelle la simplification est optimale.

$$\Rightarrow 2 \frac{\partial f_3}{\partial z} + \frac{1}{1-\nu} \text{div} \underline{f} + \Delta \nabla z + \frac{1}{1+\nu} \frac{\partial \sigma_3}{\partial z} = 0$$

ou Equilibre local

$$\begin{cases} \frac{\partial \nabla r}{\partial n} + \frac{1}{r} \left( \frac{\partial \sigma_{r\theta}}{\partial \theta} + \sigma_{r\theta} - \nabla \theta \right) + \frac{\partial \sigma_{rz}}{\partial z} + f_r = 0 \\ \frac{\partial \sigma_{r\theta}}{\partial n} + \frac{1}{r} \left( \frac{\partial \nabla \theta}{\partial \theta} - 2 \sigma_{r\theta} \right) + \frac{2 \sigma_{\theta z}}{\partial z} + f_\theta = 0 \\ \frac{\partial \sigma_{rz}}{\partial n} + \frac{1}{r} \left( \frac{\partial \sigma_{\theta z}}{\partial \theta} + \sigma_{rz} \right) + \frac{\partial \nabla z}{\partial z} + f_r = 0 \end{cases}$$

$$\frac{\partial \nabla z}{\partial z} = -f_z = \rho g \xrightarrow{\text{intégrale}} \nabla z = \rho g z + A, \text{ avec } \nabla z(z=h) = 0 \Rightarrow A = -\rho g h.$$

$$\nabla z(z) = \rho g (z - h)$$

## Retour sur l'ens "sphère ss pression"

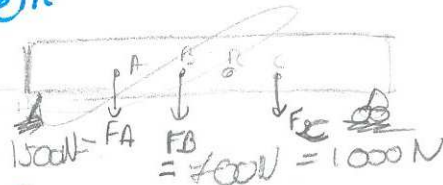
On pose le tenseur de pression on cherche l'équation

$$\underline{U} = u_n(r) \underline{e}_r \quad [\underline{E}] = \begin{bmatrix} \frac{du_r}{dr} & 0 & 0 \\ 0 & \frac{2u_\theta}{r} & 0 \\ 0 & 0 & \frac{2u_n}{r} \end{bmatrix}$$

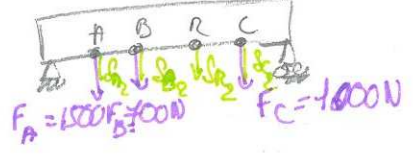
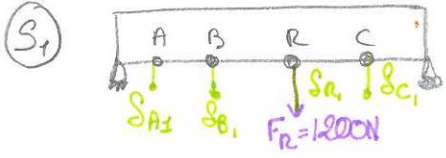
$$[\underline{E}] = \frac{1}{2} \left[ \text{grad}(\underline{U}) + \text{grad}^t(\underline{U}) \right]$$

Loi de Hooke  $\rightarrow [\underline{\nu}] = \begin{bmatrix} \nu_r & 0 & 0 \\ 0 & \nu_\theta & 0 \\ 0 & 0 & \nu_z \end{bmatrix}$

## 4.4 Théorème de Maxwell-Betti

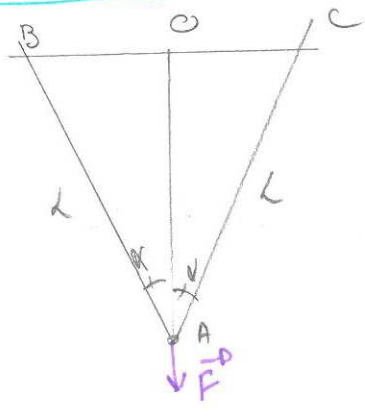


Théorème de réciprocité de B-B:  
 Le travail produit par le système de force  $(S_1)$  ds le chps de déplacem<sup>t</sup> dû au système  $(S_2)$  est égal au travail du système de force  $(S_2)$  ds le chps de déplacem<sup>t</sup> dû au système  $(S_1)$ .  
 (travail virtuel)

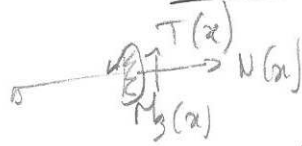


$$F_R \times S_R = F_A \times S_A + F_B \times S_B + F_C \times S_C \Rightarrow S_R = -1,26 \text{ cm}$$

Structure totale :

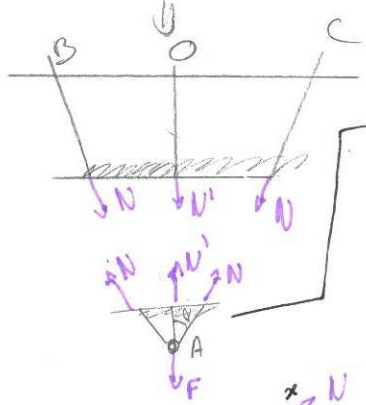


On pose : Tension de OA = N'  
 AB = N } Symétrie.  
 AC = N



- ① Exprimer N en fct de N'
- ② Théorème de Menabrea

Pr calculer N' et de N



① Equilibre des efforts verticaux appliqués sur A.

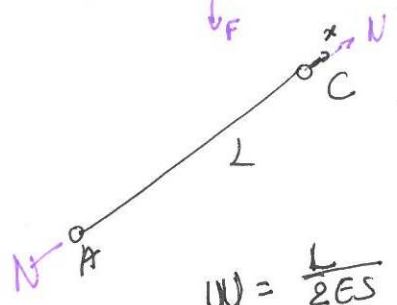
$$N' + 2N \cos \alpha = F \Rightarrow N = \frac{F - N'}{2 \cos \alpha}$$

② Menabrea :

$$\frac{\partial W}{\partial N'} = 0 \quad W \text{ travail élastique interne}$$

$$W = \frac{1}{2} \times N \times \int_0^L E \epsilon dx = \frac{1}{2} N \int_0^L \frac{\sigma_x}{E} dx \quad \text{avec } \sigma_x = \frac{N}{S}$$

$$= \frac{1}{2} N \int_0^L \frac{N}{ES} dx = \frac{1}{2} \frac{N^2 L}{ES} = W.$$



$$W = \frac{L}{2ES} \left( \frac{(F - N')^2}{4 \cos^2 \alpha} + N'^2 \cos \alpha \right)$$

$$\rightarrow \frac{\partial W}{\partial N'} = 0 \Rightarrow N' = \frac{F}{1 + 2 \cos^3 \alpha} \quad \text{et } N = \frac{\cos^2 \alpha F}{1 + 2 \cos^3 \alpha}$$

Déplacement du point A : Th de Castigliano. On injecte N' ds W.

$$\rightarrow \frac{\partial W}{\partial F} = S_A = \frac{\cos \alpha}{1 + 2 \cos^3 \alpha} \times \frac{FL}{ES}$$

• Caractéristiques géométriques des sections :

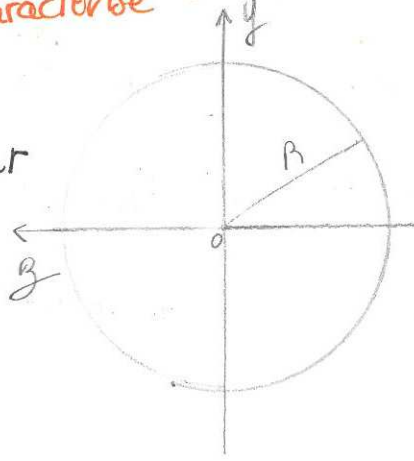
Exo 1: ① Section circulaire

Moment d'inertie polaire  $I_0$

$$I_0 = \iint_{(S)} r^2 dS = \iint_{(S)} r^2 R d\theta \times dr$$

$$= \int_0^{2\pi} d\theta \times \int_0^R r^3 dr$$

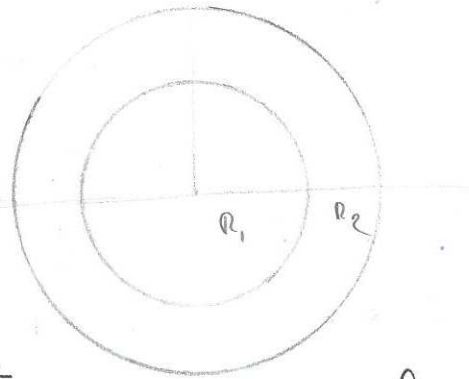
$$= 2\pi \frac{R^4}{4} = \frac{\pi R^4}{2} = I_0$$



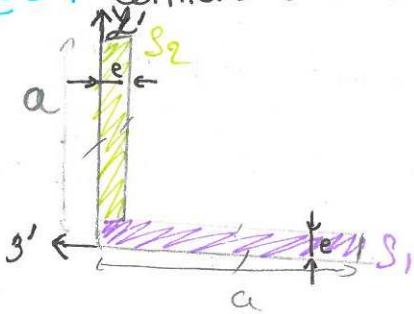
$I_z$  et  $I_y$ ?  $I_0 = \iint_{(S)} r^2 dS = \iint_{(S)} (y^2 + z^2) dS = I_z + I_y$

$$I_z = I_y = \frac{\pi R^4}{4}$$

②  $I_0 = \frac{\pi R_2^4}{2} - \frac{\pi R_1^4}{2} = \frac{\pi}{2} (R_2^4 - R_1^4)$



Exo 2: Cornière à ailes égales



On cherche le repère  $y$  qui passe par le centre de gravité de la sect.  
 $a = 50 \text{ mm}$   
 $e = 5 \text{ mm}$

Cornière rapporté au repère  $(0, y', z')$

1/ Aire de la section

$$A = a \times e + (a - e) \times e = 475 \text{ mm}^2$$

2/ Moment statique  $S_{z'}$

$$S_{z'} = \iint_{(S)} y' dS = \iint_{(S_1)} y' dS + \iint_{(S_2)} y' dS$$

$$S_{z'} = \int_0^5 y' \times a dy' + \int_5^{50} y' \times e dy'$$

$$= \left[ a \frac{y'^2}{2} \right]_0^5 + \left[ e \frac{y'^2}{2} \right]_5^{50} = 50 \times \frac{5^2}{2} + 5 \times \frac{50^2}{2} - 5 \times \frac{5^2}{2} = 6812,5 \text{ mm}^3$$

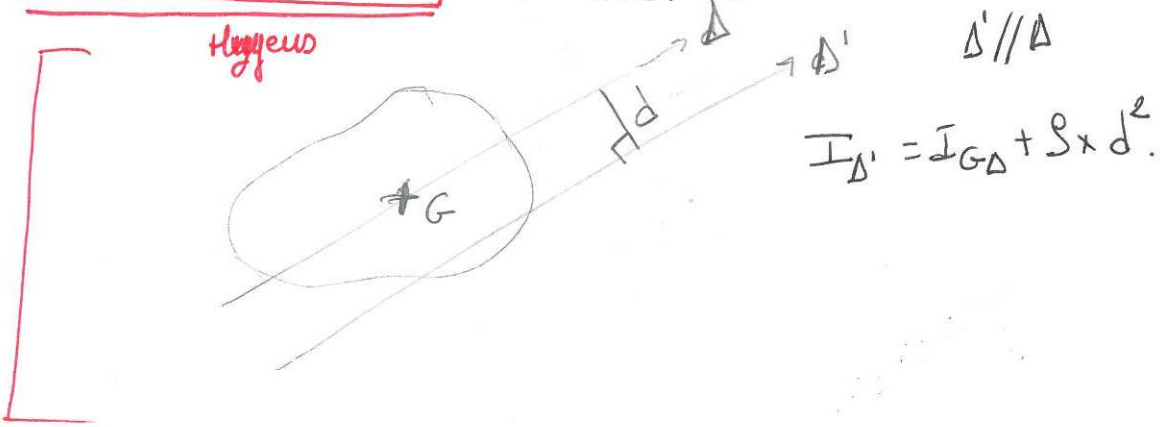
3/ Position  $y'_G$  du centre de gravité

ici :  $y'_G = z'_G = \frac{S_{z'}}{S} = 14,34 \text{ mm}$   
 $z'_G = \frac{S_{y'}}{S} = -14,3 \text{ mm}$  car  $|S_{z'}| = |S_{y'}|$



4) Calculer  $I_G$  à l'aide du théorème de Huygens

$I_G = I_{G'} - S \times (y_G')^2$   $I_{G'} = \iint_{(S)} (y')^2 dS$



Donc  $I_{G'} = 112531 \text{ mm}^4 \Rightarrow I_G = 11,25 \text{ cm}^4 = I_{yy}$

5) Calculer le produit d'inertie  $I_{yyz}$

$I_{yyz} = \iint_{(S)} y \times z dS$  Huygens :  $I_{yyz} = I_{y'z'} - S y_G' \times z_G'$   
 $I_{y'y'} = 31093 \text{ mm}^4 = 3,1093 \text{ cm}^4$   
 $I_{yyz} = -6,66 \text{ cm}^4$

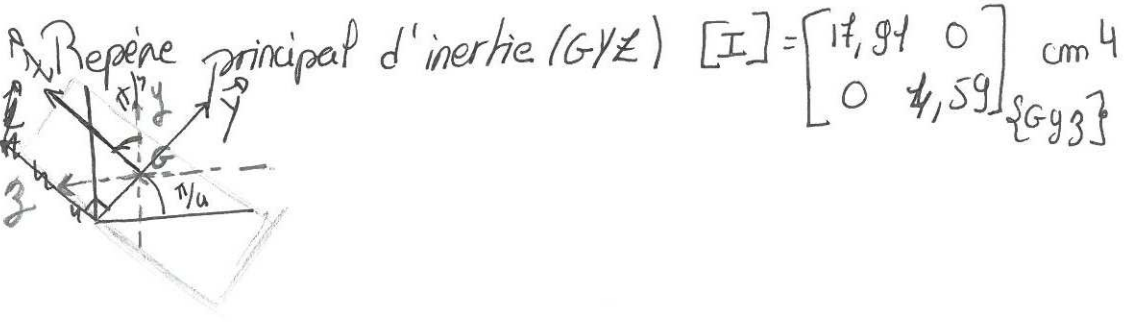
Tenseur des Inerties

$[I] = \begin{bmatrix} I_{yy} & -I_{yyz} \\ -I_{yyz} & I_{zz} \end{bmatrix} = \begin{bmatrix} 11,25 & 6,66 \\ 6,66 & 11,25 \end{bmatrix} \text{ cm}^4$

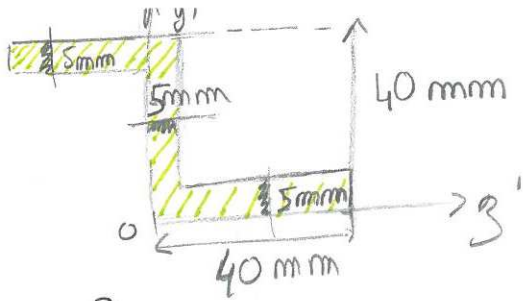
On diagonalise pr trouver les direct° principales d'inertie

Valeurs propres :  $(11,25 - \lambda)(11,25 - \lambda) - 6,66^2 = 0$   
 $\Rightarrow (11,25 - \lambda + 6,66)(11,25 - \lambda - 6,66) = 0$   
 $\Rightarrow \lambda_1 = 4,59 = I_z \quad \lambda_2 = 17,91 = I_y$

Vecteurs propres :  $\begin{cases} 11,25 \alpha + \beta 6,66 = 17,91 \alpha \Rightarrow \alpha = \beta \\ 6,66 \alpha + \beta 11,25 = 4,59 \beta \Rightarrow \alpha = -\beta \end{cases}$



# Exercice



$$y'_G = 16,11 \text{ mm}$$

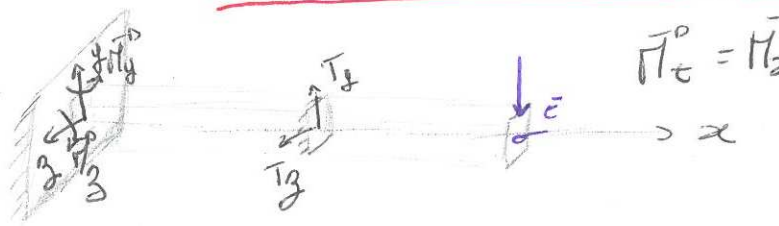
$$z'_G = 8,61 \text{ mm}$$

$$\text{Tenseur } [I] = \begin{bmatrix} 8,046 & \\ & 6,97 \end{bmatrix} \text{ cm}^4$$

avec  $y \parallel y'$   
 $z \parallel z'$

$$[I] \begin{bmatrix} 2,81 & 0 \\ 0 & 14,93 \end{bmatrix} \{GYZ\} \xrightarrow{Z'} \begin{pmatrix} 1 \\ 1,15 \end{pmatrix} \xrightarrow{Y} \begin{pmatrix} 1 \\ -0,87 \end{pmatrix}$$

## ID-RDM - Sollicitation interne et déformation des poutres = flexion



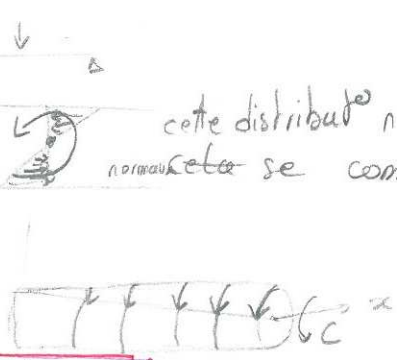
- 4 efforts élémentaires :
- Moment de flexion  $M(x)$  et/ou  $M_y(x)$
  - effort normal  $N(x)$
  - effort tranchant  $T_y(x)$  et/ou  $T_x(x)$
  - moment de torsion  $M_t(x) = M_z$

$$N(x) \rightarrow \sigma_x$$

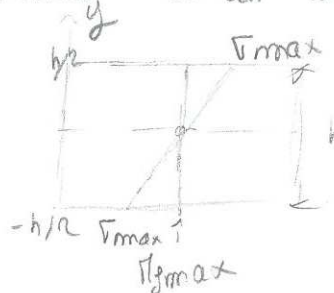
$$M_y(x) \rightarrow \sigma_x / y$$

$$T(x) \rightarrow \tau_{xy} \text{ et/ou } \tau_{yx}$$

$$M_t(x) \rightarrow \tau_{xz} \text{ et } \tau_{zx}$$



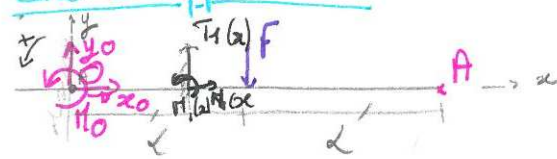
cette distribut<sup>o</sup> n'entraîne pas de  $N(x)$  car les efforts normaux se compensent mais on a un moment de flex<sup>o</sup>



$$M_y(x) \rightarrow \sigma_x(y) = - \frac{M_y(x)}{I_{Gy}} \cdot y$$

Dans la poutre :  $|\sigma_{max}| = \frac{M_{y,max} \cdot h/2}{I_{Gy}}$

## Exo d'application



① Nature du système Isostatique

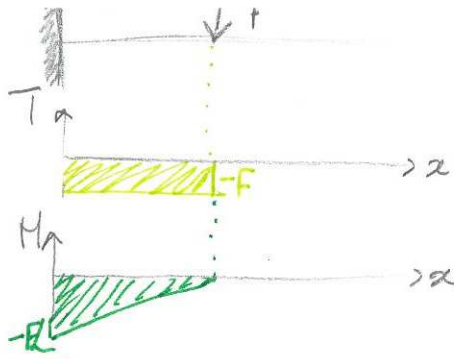
② Actions de liaisons PFS :  $X_0 = 0$   
 $Y_0 - F = 0 \rightarrow Y_0 = F$   
 $\sum M^{\text{st}}/O : \pi_0 - FL = 0 \rightarrow \pi_0 = FL$

③ Sollicitations internes : Charge ponctuelle  $\rightarrow$  décomposi<sup>o</sup> avant et après la charge.

$$0 \leq x \leq L \quad N_1(x) = 0 \quad T_1(x) = -F \quad M_1(x) = -F(L-x)$$

$$L \leq x \leq 2L \quad N_2(x) = 0 \quad T_2(x) = 0 \quad M_2(x) = 0$$

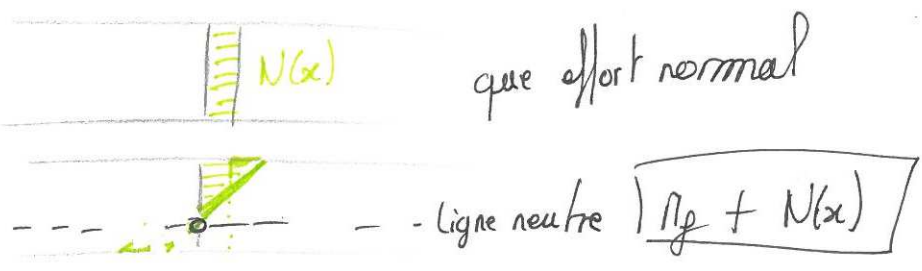
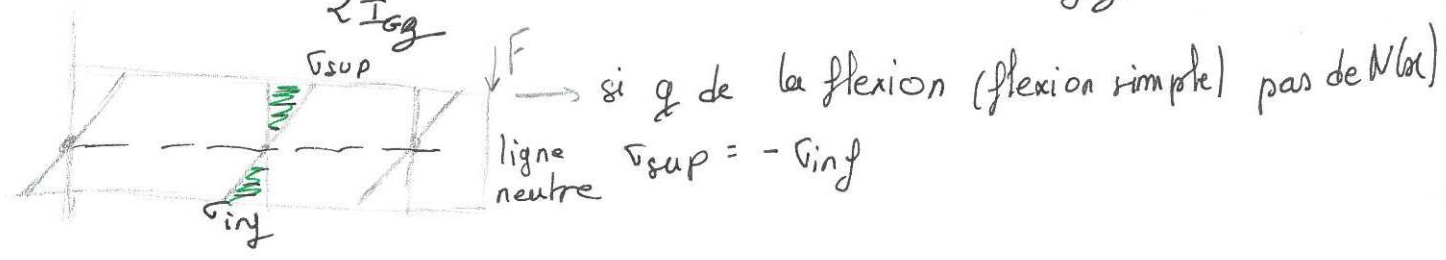
$$\Delta M_1(x) = M_{G_1}(x)$$



$T(x) = \frac{-dM}{dx}$  utiliser pour vérification

ici  $\frac{dM(x)}{dx} = -(FL + Fx) = -F = T_1(x)$   
 contrainte normale nulle en  $L$  et  $2L$  et sur l'axe neutre!

④ Recherche de  $v_{max}$ :  $v_{max}$  où? : en  $x=0$  car  $M_g$  max en  $x=0$ .  
 Poutre hauteur  $h$  et inertie  $I_{Gz}$  |  $v_{max} = \frac{|M_g|_{max} \cdot h/2}{I_{Gz}}$   
 $\Rightarrow |v_{z,max}| = \frac{FLh}{2I_{Gz}}$



⑤ Calcul de déformée = trouver  $v(x), v_x$   
 Relation Moment-Courbure:  $M_{Gz}(x) = EI_{Gz} v''(x)$   
 $v''(x) = \frac{d^2v(x)}{dx^2}$



$v(x)$  = champs de déplacement transversal dû à la flexion  
 $v'(x) = \frac{dv(x)}{dx}$  = Champs de rotation de la section  
 $\chi(x) = v''(x) = \frac{d^2v(x)}{dx^2}$  = de courbure.

$v(x) = \begin{cases} v_1(x) & \text{pr } 0 \leq x \leq L \\ v_2(x) & \text{pr } L \leq x \leq 2L \end{cases}$

$0 \leq x \leq L$   $v_1''(x) = \frac{v_1(x)}{EI} = -\frac{F(L-x)}{EI} = \frac{Fx - FL}{EI}$

$\rightarrow v_1'(x) = \frac{F}{EI} \left( \frac{x^2}{2} - Lx \right) + A$

$\rightarrow v_1(x) = \frac{F}{EI} \left( \frac{x^3}{6} - \frac{Lx^2}{2} \right) + Ax + B$

Calcul des constantes d'intégration par l'expression des CL.

$v_1(0) = 0 \rightarrow B = 0$      $v_1'(0) = 0$  (par de rotat° ds l'encastrem<sup>t</sup>)  $\rightarrow A = 0$

$v_1(x) = \frac{F}{EI} \left( \frac{x^3}{6} - \frac{Lx^2}{2} \right)$  Vérificat° homogè

⑤ champs de déplacement

$0 \leq x \leq L$      $v_1(x) = \frac{F}{EI} \left( \frac{x^3}{6} - \frac{Lx^2}{2} \right)$

$L \leq x \leq 2L$      $v_2(x) = Cx + D$

$\Rightarrow$  Calcul de C et D:  $v_1(L) = v_2(L)$     continuité chps de déplacem<sup>t</sup>  
 $v_1'(L) = v_2'(L)$     " " " rotat°

$\rightarrow v_1'(L) = C = \frac{-FL}{2EI}$

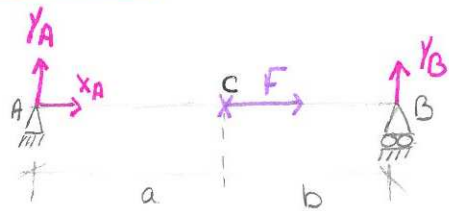
$\rightarrow D = \frac{FL^3}{6EI}$

Flèche maximale  $v_{max}$  en  $2L$ . Si pas évident on prend  $v'(x)$  et on regarde qd elle s'annule.

$v_{max} = v_2(2L) = \frac{-2FL^3}{2EI} + \frac{FL^3}{6EI}$   
 $= \frac{-6FL^3}{6EI} + \frac{FL^3}{6EI} = \frac{-5FL^3}{6EI}$

Hypothèse: petit déplacem<sup>t</sup> de déplacem<sup>t</sup> vertical.

Exercice:



① PFS:  $X_A + F = 0 \rightarrow X_A = -F$

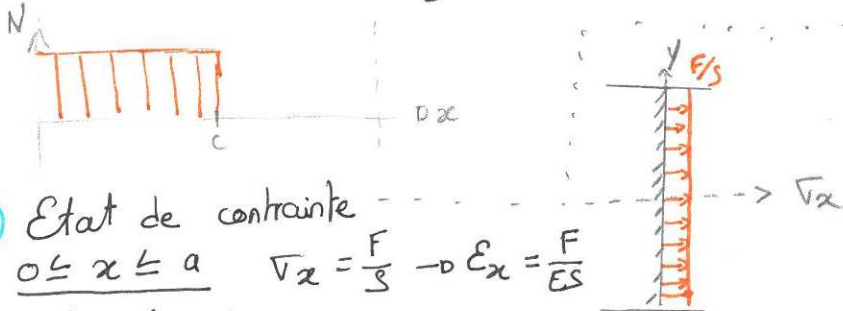
$Y_A + Y_B = 0$

$\sum M_{A}^{int} = Y_B(a+b) = 0 \rightarrow Y_B = 0 \rightarrow Y_A = 0$

② Sollicitat° internes

$0 \leq x \leq a \rightarrow \begin{cases} N_1(x) = F \\ T_1(x) = 0 \\ M_1(x) = 0 \end{cases}$

$a \leq x \leq b \rightarrow \begin{cases} N_2(x) = 0 \\ T_2(x) = 0 \\ M_2(x) = 0 \end{cases}$



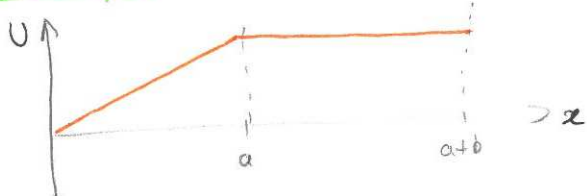
③ Etat de contrainte

$0 \leq x \leq a$      $v_x = \frac{F}{S} \rightarrow \epsilon_x = \frac{F}{ES}$

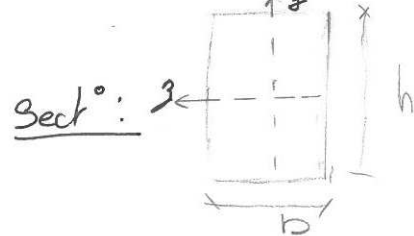
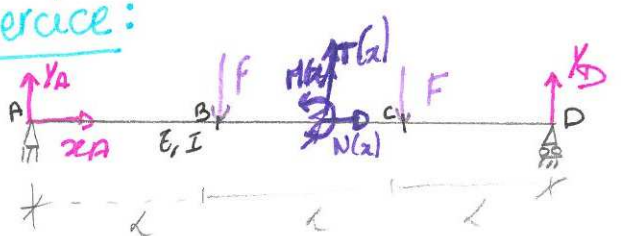
$a \leq x \leq a+b$      $v_x = 0$

④ Déplacement  $U_C = \int_0^a \epsilon_x dx = \frac{F}{ES} \int_0^a dx = \frac{Fa}{ES} = U_C$

Remarque:  $U_C = U_B$



Exercice:



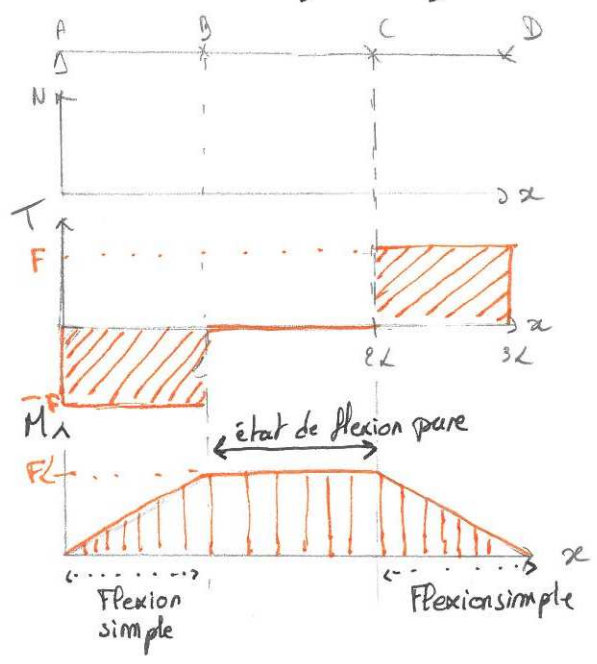
① Isostatique PFS :  $X_A = 0$   
 $Y_A + Y_D - 2F = 0 \rightarrow Y_A = +2F - Y_D$   
 $\sum M^{\text{ext}}/A : -2F - 2lF + 3lY_D = 0 \rightarrow Y_D = F$   
 $\rightarrow Y_A = F$

② Sollicitat° interne :  
 $0 \leq x \leq l$  |  $N_1(x) = 0$   
 $T_1(x) = -2F + F = -F$   
 $M_1(x) = -(-Y_A x) = Y_A x$  et  $M_1(x) = -F(l-x) - F(2l-x) + Y_D(3l-x)$   
 $= -Fl + Fx - F2l + Fx + Y_D 3l - Y_D x$   
 $= -3lF + 2xF + Y_D 3l - Y_D x$   
 $= Fx$

Remarque : soit on prend ts les moments du côté orienté de la facette soit  $\ominus$  les moments de l'autre côté.

$l \leq x \leq 2l$  |  $N_2(x) = 0$   
 $T_2(x) = -F + F = 0$   
 $M_2(x) = -F(2l-x) + Y_D(3l-x) = -F2l + Fx + 3lF - Fx = Fl$

$2l \leq x \leq 3l$  |  $N_3(x) = 0$   
 $T_3(x) = Y_D = F$   
 $M_3(x) = F3l - Fx = (3l-x)F$



- Contrainte maximale entre l et 2l.  
↳  $\sigma_{\text{max}}$
- Champs de déplacement

Note: Si pb:



alors décomposé:

③ Contrainte max.

$$|\tau_{\max}| = \frac{|\rho_{\max}| \cdot y}{I_{gz}}$$

$$I_{gz} = \iint_D y^2 dy dz = \int_{-b/2}^{b/2} dz \int_{-h/2}^{h/2} y^2 dy = \frac{bh^3}{12}$$

④ Champs de déplacement v(x)

6 conditions aux limites à exprimer.

$$\left. \begin{aligned} v_1(0) = 0; v_3(3L) = 0; v_1'(L) = v_2'(L) \\ v_1(L) = v_2(L); v_2(2L) = v_3(2L); v_2'(L) = v_3'(2L) \end{aligned} \right\} \text{Général}$$

Ici au milieu de la poutre rotat° nul: symétrie  $\rightarrow v_2'(3/2 L) = 0$ .

$$v_1(L) = v_2(2L) \text{ car déplacement} + b = \text{déplacement} + c.$$